



مقایسه سلول خورشیدی ساخته شده در طرح نانوتیوب‌های نامنظم سوزنی شکل TiO_2 و نانوذرات TiO_2 لایه‌نشانی شده به روش دکتر بلید

مرضیه قنواتی نژاد^۱، سیدمحمدباقرقرشی^۲، مصطفی زاهدی فر^۳

پژوهشکده نانو، دانشگاه کاشان، کاشان^۱

دانشکده فیزیک دانشگاه کاشان، بلوار قطب راوندی، کاشان^{۲،۳}

چکیده - در پژوهش حاضر، نانوتیوب‌های نامنظم سوزنی شکل TiO_2 رشد یافته از طریق روش آندایزیشن بر بستر لایه Ti نهشت یافته روی FTO به روش اسپاترینگ و همچنین نانوذرات TiO_2 لایه‌نشانی شده به روش دکتر بلید که روی FTO لایه‌نشانی شده است، در قالب سلول‌های خورشیدی حساس به رنگ ($DSSCS$) مقایسه شده‌اند. عملیات لایه‌نشانی Ti به روش اسپاترینگ در مدت زمان حدود ۶ ساعت، ضخامتی در حدود $2,200 \mu$ روی FTO نهشت داده است. پس از آن، نانوتیوب‌های TiO_2 از طریق روش آندایزیشن در ولتاژ ۱۲۰ v جهت تولید طرح نانوتیوب‌های نامنظم سوزنی شکل ایجاد شدند. سپس نمونه‌های آندایز شده در دمای $450^\circ C$ بازپخت شدند. همچنین نانوذرات TiO_2 لایه‌نشانی شده روی FTO به روش دکتر بلید، پس از چند بار حرارت‌دهی در دمای نهایی $550^\circ C$ بازپخت شد. در این پژوهش از آنالیزهای SEM و AFM جهت بررسی نمونه‌ها استفاده شد.

کلیدواژه- آندایزیشن، دکتر بلید، اسپاترینگ، نانوتیوب‌های نامنظم سوزنی شکل TiO_2 ، نانو ذرات TiO_2 .

Comparison of solar cells made from irregular needle-like TiO_2 nanotube pattern with TiO_2 nanoparticle coated by Dr.Blade method

Marziyeh Ghanavati nejad¹, syd Mohamad bagher Ghrrashi², Mustafa Zahedi far³

¹Researcher of nano, University of kashan, kashan

^{3,2}Department of physics, University of kashan, kashan

Abstract

In the present study, irregular needle-like TiO_2 nanotubes developed through anodization on Ti layer substrate deposited on the FTO by sputtering method and also TiO_2 nanoparticles coated by Dr.blade method which was deposited on the FTO were compared in the form of dye-sensitve solar cells (DSSCS). Ti deposition process was carried out by sputtering method for 6 hours for deposition of 2.200μ thickness on FTO. Next TiO_2 nanotube developed through anodization in 120 V voltage to produce irregular needle-like nanotube pattern. Then anodized samples were annealed in $450^\circ C$ temperature. Also TiO_2 nanoparticle deposited on FTO by Dr.Blade method, were annealed in final $550^\circ C$ temperature after several heating. In this research XRD, AFM and SEM analysis were used to evaluate the samples.

Keywords: Anodizing, Doctor blade, Sputtering, TiO_2 irregular needle-like nanotubes, TiO_2 nanoparticles

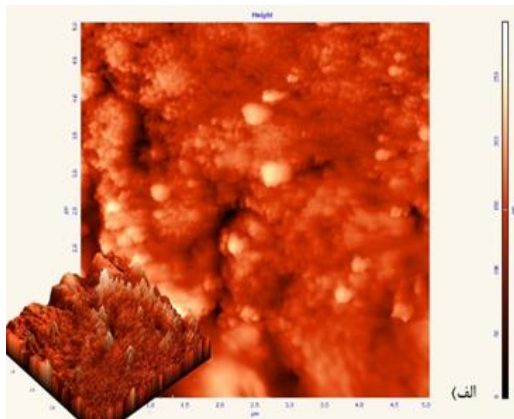
۱- مقدمه

الکترودهای نانومتخلخل TiO_2 عموماً از سوسپانسیون کلونیدی حاوی نانوذرات TiO_2 تشکیل شده‌اند. برای تهیه فیلم پهن، با استفاده از تکنیک "دکتربلید"، سوسپانسیون روی یک اکسید هادی شفاف ریخته می‌شود و فیلم ایجاد شده به وسیله‌ی بازپخت بین 450°C تا 550°C تف‌جوشی می‌شود. سلول‌های خورشیدی حساس شده با رنگینه با بازده بالا، عموماً از ذراتی با قطر بین 10 nm تا 20 nm تشکیل می‌شوند. شکل پیوند سطحی رنگینه‌ها که باعث تغییر بازده تزریق بار می‌شوند، توسط اندازه ذره TiO_2 تحت تأثیر قرار می‌گیرند [۱]. مطالعات مختلف نشان داده‌اند که طول عمر بازترکیب الکترون به طور چشمگیری با ویژگی‌های فیلم نانومتخلخل، به خصوص توزیع مکان‌های تله و دانسیته‌ی آن‌ها، تحت تأثیر قرار می‌گیرد [۲-۴]. در DSSC حفره در فیلم TiO_2 ایجاد نمی‌شود و بنابراین فرایند بازترکیب فقط توسط کاتیون‌های رنگ یا I_3^- در الکترولیت هنگامی که الکترون‌های موجود در سطح ذرات با آن‌ها در تماس قرار می‌گیرند اتفاق می‌افتد. با افزایش اندازه ذره ضریب نفوذ افزایش می‌یابد که این پدیده مربوط به کاهش مساحت سطح و شرایط مرز دانه‌هاست. مقادیر اندازه گیری شده‌ی طول عمر بازترکیب الکترون در DSSC نشان داد که با افزایش اندازه ذره این پارامتر کاهش می‌یابد. بنابراین برای طراحی سلول خورشیدی یک اندازه ذره‌ی بهینه مورد نیاز است. این اندازه‌ی بهینه حدود 20 nm گزارش شده است [۵]. بسیاری از دانشمندان تلاش کردند تا با تهیه‌ی نانو ساختارهای یک‌بعدی TiO_2 بازده سلول‌های خورشیدی را بهبود بخشند. همچنین در اینجا مقایسه‌ای بین دو سلول خورشیدی با دو مورفولوژی مختلف که هر دو مدل روی FTO کار شده‌اند، صورت گرفته است: دلیل ایجاد این ساختارهای سوزنی‌شکل، این است که خورده شدن تیوب‌ها در رأس آن‌ها (در زمان‌های طولانی واکنش آندایز) منجر به ساختارهای نابهنجار می‌شود. سه علت مختلف برای تشکیل مورفولوژی‌های سوزن‌مانند یا علف‌مانند در رأس تیوب‌ها و فروریزی و دسته شدن تیوب‌ها که عموماً در الکترولیت‌های آلی مشاهده می‌شود ذکر شده است: ۱- بر اثر خورده شدن توسط یون‌های فلئوئر دیواره‌ی تیوب‌ها آنقدر نازک می‌شوند که نمی‌توانند وزن خود را تحمل کنند و بنابراین در زمان واکنش رأس آن‌ها دچار شکستگی و فروریزی می‌شود [۶].

۲- در حین تمیزکردن تیوب‌ها و خشک شدن آن‌ها به علت نیروی موینگی که بین تیوب‌ها وجود دارد، خمیده میشوند [۷]. ۳- مدل شکافتگی بامبو: به علت یک جریان عمودی از یون‌ها در کانال‌های نانوتیوب‌ها، یک میدان الکتریکی ایجاد می‌شود که مسئول شکافتگی عمودی نانوتیوب‌ها در الکترولیت با چگالی بالا است [۸]. هنگامی که ساختارهای نانوعلف ایجاد می‌شود باعث ساختارهای درهم‌تنیده در سطح نانوتیوب‌ها می‌شود که علاوه بر ساختار یک‌بعدی تیوب، یک ساختار سه‌بعدی نیز ایجاد می‌شود. زمانی که الکترون برای حرکت در طول یک جهت صرف می‌کند یک‌سوم کل زمان صرف شده برای حرکت در هر سه بعد است. بنابراین حرکت در یک‌بعد سه برابر سریع‌تر از حرکت در سه‌بعد است.

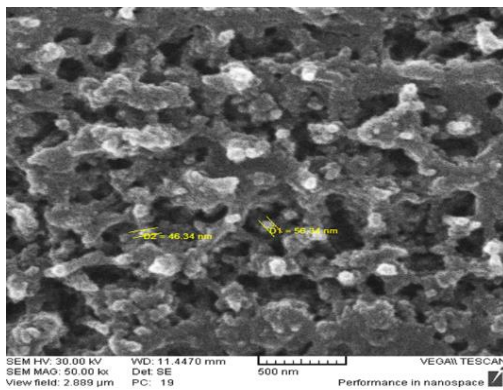
۲- روش انجام آزمایش

ابتدا شیشه های FTO طبق وضعیت راکتوری که در آن آندایز انجام می‌شود، برش داده می‌شود. مقاومت سطحی شیشه FTO مورد استفاده Ω/\square بوده است. نمونه‌ها در فرایند شستشو در حمام اولتراسونیک ابتدا با محلول آب و کف، سپس با اتانول، بعد از آن با استن و در نهایت با آب یون‌زادایی شده هریک به مدت ۱۰ دقیقه از آلودگی برطرف گردیدند. سپس با کمک آون خشک شدند. پس از خشک شدن نمونه‌ها، آن‌ها را روی دیسک فلزی بسته تا برای لایه‌نشانی از طریق روش اسپاترینگ آماده شوند. نمونه‌ها در یک زاویه فضایی کوچک روی دیسک دیزاین شدند تا بهینه‌ترین حالت جهت لایه‌نشانی را داشته باشند. زیرلایه قبل از شروع لایه‌نشانی تا دمای 115°C به جهت چسبندگی بهتر لایه Ti به زیرلایه FTO گرم شد. فشار عملیاتی mbar 1.6×10^{-2} و توان دستگاه 600 W بوده است. پس از لایه‌نشانی، نمونه با میکروسکوپ نوری مورد بررسی قرار گرفت تا بهترین قسمت سطح نمونه جهت آندایز انتخاب گردد. پس از آن نمونه در راکتور که از محلول الکترولیت حاوی آب یون‌زادایی شده و HF و اتیلن‌گلیکول جهت تولید طرح نانوتیوب‌های نامنظم سوزنی‌شکل جهت افزایش سطح جذب در دمای 15°C و در ولتاژ 120 V بود، آندایز شد.



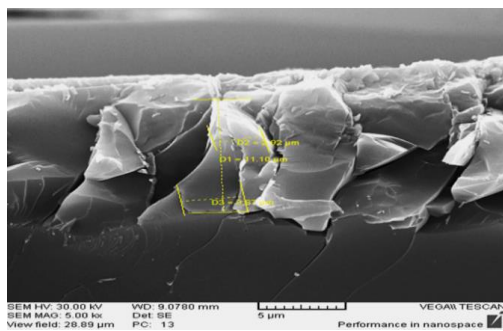
شکل ۳- تصویر AFM از توپوگرافی سطح نانوتیوب های سوزنی شکل

در شکل ۴ سطح نمونه که در این بزرگنمایی حالت علفی کاملاً مشخص است. دهانه حفرات در این نمونه بازتر است.

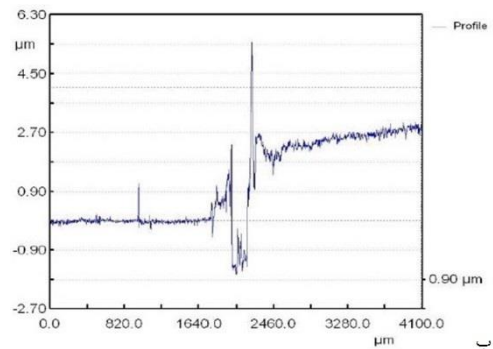
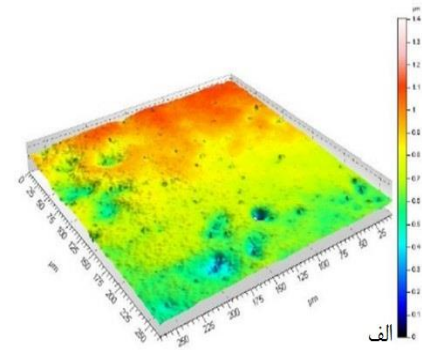


شکل ۴- تصویر SEM از طرح نانوتیوب های سوزنی شکل

در شکل ۵ مقطع عرضی از نمونه است که هدفش تولید نانوتیوب های طرح علفی بوده است. الکترولیت در حین فرایند آندایز شامل: آب دوبارتقطیر، اتیلن گلیکول و HF بوده است. حالت علفی در شکل با ارتفاع ۱۱m / ۱۰ μm است.

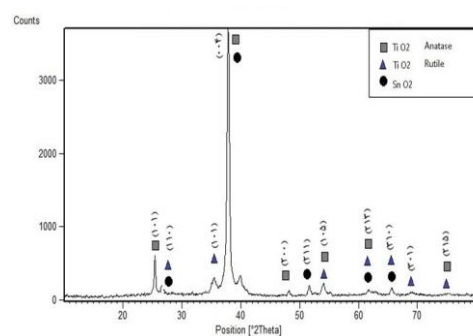


شکل ۵- مقطع عرضی از سطح نانوتیوب های سوزنی شکل



شکل ۱- الف) توپوگرافی سطح نمونه بعد از فرایند آندایز ب) ضخامت سنجی سطح نمونه پس از آندایز و بازپخت که افزایش ضخامت را نشان می دهد.

نمونه ها پس از آندایز در دمای 450°C بازپخت شدند تا نانوتیوب ها از آمورف به آاناتاز تغییر فاز دهند و جهت تایید فاز آاناتاز از آنالیز XRD استفاده شد.



شکل ۲- تایید نمودار XRD تشکیل فاز آاناتاز TiO_2 پس از بازپخت (تشکیل فاز آاناتاز و روتیل)

سپس نمونه ها را با استفاده از محلول TiCl_4 در دمای 70°C حرارت داده می شود تا ترک های روی سطح جداره نانوتیوب ها حاصل از بازپخت ترمیم یابد. پس از آن نمونه ها دوباره بازپخت شده و در نهایت به مدت ۳۶ ساعت در رنگ N719 در دمای 30°C قرار گرفته است.

جدول ۱ مشخصه یابی سلول خورشیدی در دو طرح: نانوتیوب‌های سوزنی شکل و نانوذرات لایه‌نشانی شده به روش دکتربلید

Characterization	Solar cells with a needle-shaped nanotubes	Solar cells with a doctor blade pattern
V _{oc} (V)	0.57	0.5
J _{sc} (mA/cm ²)	2.4	2.1
FF(%)	39.04	47.93
EFF(%)	0.54	0.07

۳- نتیجه‌گیری

همان‌طور که از نتایج برمی‌آید نتیجه بازدهی سلول خورشیدی از طرح نانوتیوب‌های نامنظم سوزنی‌شکل بیشتر از طرح دکتر بلید بدست آمد. دلیل این مقایسه این بود که در هر دو ساختار به دلیل مورفولوژی که دارند تله‌های سطح زیاد است و بازترکیب الکترون بیشتر از مدل‌های دیگر (نانوتیوب‌های منظم عمودی) است لذا در این پژوهش هم بازترکیب الکترون در این نمونه‌ها مقایسه شده است و هم قدرت سطح جذب رنگ. که در نهایت مورفولوژی نانوتیوب‌های نامنظم سوزنی‌شکل از مورفولوژی نانوذرات پیشی گرفت. هر چند که در طرح نانوتیوب‌های سوزنی‌شکل به دلیل ساختار نامنظم و علفی مانند انتقال الکترون در واقع در سه بعد صورت می‌پذیرد نه در یک بعد و این خود باعث افزایش بازترکیب الکترون می‌گردد ولی به دلیل اینکه این ساختارها سطح ناهمواری دارند افزایش جذب رنگ بیشتری نسبت به سطح صاف الکتروود در طرح دکتر بلید دارند.

مراجع

- [1] Q. L. Zhang, L. C. Du, Y. X. Weng, L. Wang, H. Y. Chen, J. Q. Li, *J. Phys. Chem. B* **108** (2004) 15077.
- [2] Y. Tachibana, S. A. Haque, I. P. Mercer, J. R. Durrant, D. R. Klug, *J. Phys. Chem. B* **104** (2000) 1198.
- [3] G. Schlichthörl, S. Y. Huang; J. Sprague, A. J. Frank, *J. Phys. Chem. B* **101** (1997) 8141.
- [4] S. Pelet; J.-E. Moser, M. Grätzel, *J. Phys. Chem. B* **104** (2000) 1791.
- [5] S. Ito, P. Chen, P. Comte, M. K. Nazeeruddin, P. Liska, P. Péchy, M. Grätzel, *Prog. Photovoltaics Res. Appl.* **15**(2007) 603.
- [6] P. Roy, S. Berger, P. Schmuki, *Angew. Chem. Int. Ed.* **50** (2011) 2904.
- [7] K. Zhu, T. B. Vinzant, N. R. Neale, A. J. Frank, *Nano Lett.* **7** (2007) 3739.
- [8] J. H. Lim, J. Choi, *small* **3** (2007) 1504.

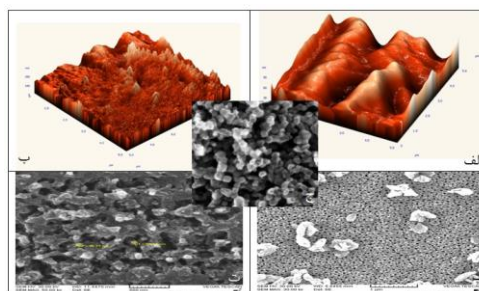
۲-۱- سلول‌های خورشیدی به روش دکتر بلید

برای تهیه سلول خورشیدی با استفاده از طرح دکتر بلید پس از آماده شدن سطح کار روی شیشه FTO نانوذرات TiO₂ روی سطح شیشه FTO لایه‌نشانی کرده و سپس به مدت ۵ دقیقه در درجه حرارت ۱۲۰ °C قرار داده پس از پایان حرارت‌دهی و خنک‌شدن نمونه برای بار دوم لایه نازکی از نانوذرات TiO₂ را روی نمونه لایه‌نشانی کرده و سپس نمونه را به مدت ۵ دقیقه در دمای ۱۲۰ °C حرارت‌دهی شد. پس از خنک‌شدن نسبی نمونه چسب‌ها را از اطراف محدوده الکتروود جدا کرده و دوباره حرارت‌دهی در دمای ۵۰۰ °C و به مدت ۳۰ دقیقه صورت گرفت. پس از آماده شدن الکتروود آند و الکتروود پلاتینی هم ساخته و سپس سلول خورشیدی مورد نظر تهیه گشته و جهت مشخصه‌یابی آماده شده است.



شکل ۶- آغستن الکتروود آندی به رنگ در طرح دکتر بلید

جهت درک و دید شهودی بیشتر و مقایسه بهتر تصاویر از نانوتیوب‌های سوزنی شکل و نانوذرات و نانوتیوب‌های آراییده منظم عمودی در زیر به تصویر کشیدیم.



شکل ۷- (الف) توپوگرافی، (ب) تصویر SEM نانوتیوب‌های آراییده منظم عمودی TiO₂، (ت) تصویر SEM نانوتیوب‌های نامنظم سوزنی شکل TiO₂ (ج) نانوذرات TiO₂

در جدول ۱ مقایسه ای بین دو نوع سلول خورشیدی نانوساختار با طرح دکتر بلید و طرح نانوتیوب‌های سوزنی‌شکل صورت گرفته است.